

# АНАЛИТИЧЕСКОЕ КОНСТРУИРОВАНИЕ ЗАКОНОВ УПРАВЛЕНИЯ ПРОДОЛЬНЫМ КОРОТКОПЕРИОДИЧЕСКИМ ДВИЖЕНИЕМ САМОЛЕТА, ОПТИМАЛЬНЫХ ПО МОДИФИЦИРОВАННОМУ МНОГОВАРИАНТНОМУ КРИТЕРИЮ ОБОБЩЕННОЙ РАБОТЫ

Сергей Игоревич РЫБНИКОВ родился в 1936 г. в городе Москве. Профессор МАИ. Доктор технических наук. Основные научные интересы — в области автоматического управления технологическими процессами, движущимися объектами, крупномасштабных технико-экологических взаимодействий. Автор более 100 научных работ.

Sergey I. RYBNIKOV, D.Sci., was born in 1936, in Moscow. He is a Professor at the MAI. His research interests are in automatic control for moving objects as well as large-scale techno-ecological interactions. He has published over 100 technical papers.

Хоанг Минь Дац родился в 1976 г. во Вьетнаме. Аспирант МАИ. Основные научные интересы — в области автоматического управления движущимися объектами. Автор трех научных работ.

HOANG MINH DAC, was born in 1976, in Vietnam. He is a Postgraduate Student at the MAI. His research interests are in automatic control for moving objects. He has published 3 technical papers.

*Аналитическое конструирование оптимальных регуляторов (АКОР) по модифицированному многовариантному критерию обобщенной работы применяется для параметрического синтеза законов управления продольным короткопериодическим движением гипотетического пассажирского среднемагистрального самолета, порождая гаммы оптимальных систем с различным быстродействием и энергетической платой за управление.*

## Введение. Постановка задачи

В АКОРе по критерию обобщенной работы [1] подынтегральное выражение интегрального квадратичного аддитивного критерия содержит взвешенную оценку мощности, развиваемой исполнительными устройствами при управлении. В настоящей работе при решении задач управления движением самолета эта оценка дополняется взвешенной оценкой мощности вариаций аэродинамических сил, возникающих в связи с реализацией управления, дополнительных к силам, связанным с установленвшимся движением. Далее, вводится общий весовой множитель  $K_m$  при сумме взвешенных мощностей. При его дискретном варьировании АКОРом для каждой синтезируемой системы управления формируется гамма законов управления, различающихся доставляемыми системе сочетаниями быстродействия и относительных затрат энергии на управление. Высокое качество процессов в вариантах системы, как будет видно на примерах, в основном обеспечивается выбором весовых коэффициентов базового варианта критерия при  $K_m = 1$ . Описанная методология применяется для параметрического синтеза локальных астатических систем автоматического управления продольным коротко-

периодическим движением гипотетического пассажирского среднемагистрального самолета: астатической системы управления нормальной избыточной перегрузкой  $\Delta n_y$  ( $CAU \Delta n_y$ ), содержащей астатический автомат продольного управления АПУ, а также системы управления его углом тангенса  $\vartheta$  ( $CAU \vartheta$ ) со статическим автопилотом тангенса (АП  $\vartheta$ ) с внутренней связью по  $\Delta n_y$ . Структура систем выбрана с учетом природных условий в регионе предполагаемого использования пока гипотетического самолета, в частности во Вьетнаме. На приводимых ниже примерах синтеза систем управления будет показано, что в практических случаях варьирование  $K_m$  в достаточно широких пределах позволяет управлять характером переходных процессов, в зависимости от конкретных требований организуя более быстрый или менее энергонапряженный частный маневр управления, при сохранении высокого качества переходных процессов.

Структура решаемых задач следующая. Для каждого расширенного объекта управления с  $n$ -мерным вектором фазовых координат  $X$ , в случае единственного управляющего воздействия  $u(t)$ , описанного

матричным уравнением с квадратной матрицей  $A$  коэффициентов внутренних связей и матрицей-столбцом  $B$  коэффициентов при управляемом воздействии,

$$dX/dt = AX + Bu, \quad (1)$$

определяется закон управления

$$u = -KX, \quad (2)$$

минимизирующий интегральную квадратичную функцию:

$$J = \int_0^{\infty} (X^T Q X + R u^2) dt.$$

Матрица коэффициентов закона управления  $K$  определяется как  $K = R^{-1}B^T S$  с помощью решения уравнения Риккати для  $S$ :

$$A^T S + S A - S B R^{-1} B^T S + Q = 0$$

или на основе вариационного подхода, в частности решением уравнения Эйлера—Пуассона [2], она зависит от скаляра  $R$  и матрицы  $Q$ , элементы которой в базовом варианте задачи определяются на основе правила равных вкладов максимальных по модулю вариаций переменных, с последующим итеративным уточнением по результатам математического моделирования синтезированных систем. Запишем соотношения, определяющие входящие в конкретные решаемые здесь задачи исходные матрицы.

## 1. Уравнения расширенного объекта управления

Матричные уравнения расширенного объекта управления составлены из стандартных уравнений [3] продольного короткоперiodического движения самолета. Они включают в себя уравнения моментов в проекциях на связанную ось  $z$ , сил в проекциях на нормаль к траектории (с учетом непосредственного влияния отклонения руля высоты на нормальную перегрузку), кинематических связей, записанных со стандартными обозначениями коэффициентов  $c_1$  и т.д., а также следящего рулевого привода (с собственной частотой недемпфированных колебаний  $\Omega_{\text{пп}} = 10 \text{ c}^{-1}$  и относительным коэффициентом демпфирования  $\xi = 0,7$ ).

Уравнения записаны в лапласовой форме при нулевых начальных условий, в малых приращениях от установившихся, в частности балансировочных, значений, символы которых опущены, в них  $s$  — комплексная лапласова переменная,  $\omega_z = \omega_z(s) = s\vartheta$ ,  $\Delta n_y = \Delta n_y(s)$ ,  $\vartheta = \vartheta(s)$ ,  $\delta_B = \delta_B(s)$ ,

$u = u(s)$  — изображения отклонений фазовых координат объекта управления — угловой скорости относительно связанной оси  $z$ , нормальной избыточной перегрузки, угла тангажа, угла отклонения руля высоты, управляющего сигнала, соответственно.

Для синтеза САУ  $\Delta n_y$  уравнение (1) принимается в форме

$$\frac{d}{dt} \begin{bmatrix} \omega_z \\ \Delta n_y \\ \Delta n_{yi} \\ \dot{\delta}_B \\ \ddot{\delta}_B \end{bmatrix} = - \begin{bmatrix} c_1 + c_5 & \frac{g}{c_6} \left( \frac{c_2}{c_4} - c_5 \right) & 0 & 0 & c_3 - \frac{c_2 c_9}{c_4} \\ -\frac{c_4 c_6}{g} & c_4 & 0 & -\frac{c_6 c_9}{g} & 0 \\ 0 & -1 & 0 & 0 & 0 \\ 0 & 0 & 0 & 2\xi\Omega_{\text{пп}} & \Omega_{\text{пп}}^2 \\ 0 & 0 & 0 & -1 & 0 \end{bmatrix} \times \begin{bmatrix} \omega_z \\ \Delta n_y \\ \Delta n_{yi} \\ \dot{\delta}_B \\ \ddot{\delta}_B \end{bmatrix} + \begin{bmatrix} 0 \\ 0 \\ 0 \\ \Omega_{\text{пп}}^2 \\ 0 \end{bmatrix} u. \quad (1.1)$$

Для синтеза САУ  $\vartheta$  уравнение (1) имеет вид

$$\frac{d}{dt} \begin{bmatrix} \omega_z \\ \Delta n_y \\ \vartheta \\ \dot{\delta}_B \\ \ddot{\delta}_B \end{bmatrix} = - \begin{bmatrix} c_1 + c_5 & \frac{g}{c_6} \left( \frac{c_2}{c_4} - c_5 \right) & 0 & 0 & c_3 - \frac{c_2 c_9}{c_4} \\ -\frac{c_4 c_6}{g} & c_4 & 0 & -\frac{c_6 c_9}{g} & 0 \\ -1 & 0 & 0 & 0 & 0 \\ 0 & 0 & 0 & 2\xi\Omega_{\text{пп}} & \Omega_{\text{пп}}^2 \\ 0 & 0 & 0 & -1 & 0 \end{bmatrix} \times \begin{bmatrix} \omega_z \\ \Delta n_y \\ \vartheta \\ \dot{\delta}_B \\ \ddot{\delta}_B \end{bmatrix} + \begin{bmatrix} 0 \\ 0 \\ 0 \\ \Omega_{\text{пп}}^2 \\ 0 \end{bmatrix} u. \quad (1.2)$$

В расчетных примерах принято:

$c_1$	$c_2$	$c_3$	$c_4$	$c_5$	$c_6$	$c_9$
0,15	0,95	0,5	0,7	0,05	4,5	0,1

Расчетный расширенный объект управления имеет умеренную колебательность при длительности переходных процессов около 9 с (рис. 1).

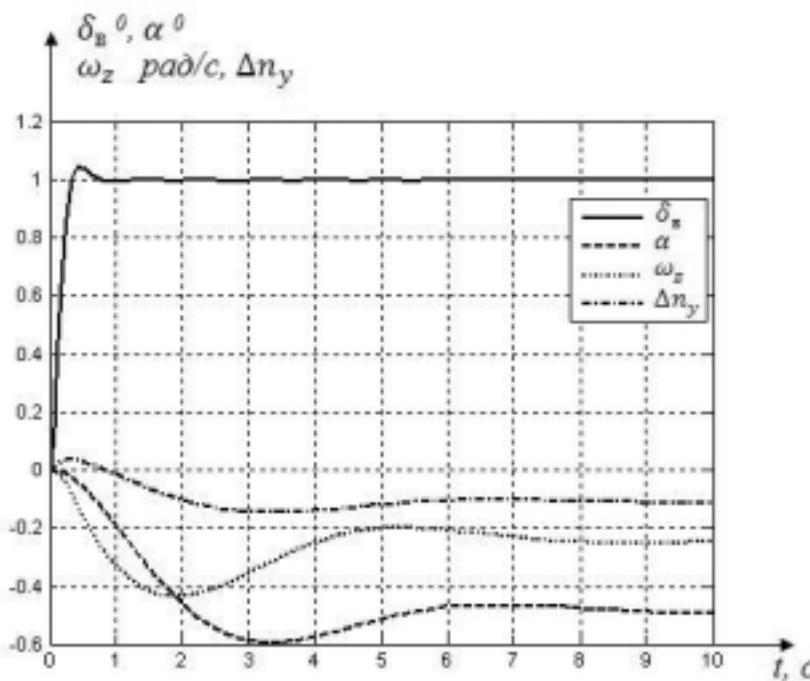


Рис. 1. Переходные функции расширенного объекта управления

## 2. Законы управления

Первичный закон управления (2) астатического АПУ имеет вид

$$u(s) = -K_{\delta} \dot{\delta}_B(s) - K_{\delta} \delta_B(s) + K_{\omega} \omega_z(s) + \\ + \left( K_n + \frac{K_{ni}}{s} \right) (\Delta n_y(s) - \Delta n_{\text{задан}}(s)) \quad (2.1)$$

или

$$u(s) = -K_{\delta} \dot{\delta}_B(s) - K_{\delta} \delta_B(s) + K_{\omega} \omega_z(s) + \\ + K_n \Delta n_y(s) + \frac{K_{ni}}{s} (\Delta n_y(s) - \Delta n_{\text{задан}}(s)).$$

Вектор-строка его искомых коэффициентов:

$$K = (-K_{\omega}, -K_n, -K_{ni}, K_{\delta}, K_{\vartheta}).$$

При прочих равных условиях вариант закона управления (2.1) придает системе большее быстродействие, ниже в анализе рассмотрен он.

Первичный закон управления (2) статического АП здесь

$$u(s) = -K_{\delta} \dot{\delta}_B(s) - K_{\delta} \delta_B(s) + K_{\omega} \omega_z(s) + \\ + K_n \Delta n_y(s) + K_{\vartheta} (\vartheta(s) - \vartheta_{\text{задан}}(s)). \quad (2.2)$$

Вектор-строка его искомых коэффициентов:

$$K = (-K_{\omega}, -K_n, -K_{\vartheta}, K_{\delta}, K_{\vartheta}).$$

Получаемые АКОРом первичные законы управления с полной информацией о расширенном объекте управления технически не всегда рациональны и для практического применения могут корректироваться. В рассматриваемых примерах эти законы требуют введения обратных связей по  $\delta_B$  и  $\delta_B$ . При приближенном учете лишь последней из указанных связей законы управления (2.1) и (2.2) представимы в виде

$$u(s) = (1 + K_{\delta})^{-1} \times \\ \times \left[ K_{\omega} \omega_z(s) + \left( K_n + \frac{K_{ni}}{s} \right) (\Delta n_y(s) - \Delta n_{\text{задан}}(s)) \right] = \\ = K_{\omega 1} \omega_z(s) + \left( K_{n1} + \frac{K_{ni1}}{s} \right) (\Delta n_y(s) - \Delta n_{\text{задан}}(s)); \quad (2.1')$$

$$u(s) = (1 + K_{\delta})^{-1} \times \\ \times \left[ K_{\omega} \omega_z(s) + K_n \Delta n_y(s) + K_{\vartheta} (\vartheta(s) - \vartheta_{\text{задан}}(s)) \right] = \\ = K_{\omega 1} \omega_z(s) + K_{n1} \Delta n_y(s) + K_{\vartheta 1} (\vartheta(s) - \vartheta_{\text{задан}}(s)). \quad (2.2')$$

В ряде расчетных случаев закон управления перегрузкой  $\Delta n_y$  требует введения положительной обратной связи по перегрузке, повышающей качество

переходных процессов в приближенной модели системы, но способной привести к росту колебаний тонов, не учитываемых в ней. Для исключения такого риска указанная связь может быть приближенно заменена отрицательными обратными связями и фильтрами, близкими по влиянию на переходные процессы в системе. Вариант такой замены — это, во-первых, коррекция передаточных коэффициентов  $K_{\omega}$  и  $K_{\omega l}$  из условия примерного сохранения колебательности внутреннего контура управления при отказе от связи по  $\Delta n_y$ , во-вторых, последовательное включение в цепи обратной связи, внешние по отношению к связи по  $\omega_z$ , корректирующего фильтра, в простейшем случае — апериодического с передаточной функцией

$$W_f(s) = K_f / (T_f s + 1),$$

где  $K_f = (\Omega_2 / \Omega_0)^2$ ,  $T_f = \pi(\Omega_2^{-1} - \Omega_0^{-1})$ ;  $\Omega_0, \Omega_2$  — значения нижней собственной частоты недемпифицированных колебаний внутреннего контура управления при наличии и отсутствии расчетной связи по  $\Delta n_y$  соответственно (расчеты коррекции просты и не приводятся). При  $K_n < 0$  законы управления (2.1') и (2.2'), преобразованные указанным способом, приобретают вид

$$\begin{aligned} u(s) &= \\ &= K_{\omega l} \omega_z(s) + W_f(s) \frac{K_{n1}}{s} (\Delta n_y(s) - \Delta n_{\text{задан}}(s)); \quad (2.1'') \\ u(s) &= \\ &= K_{\omega l} \omega_z(s) + W_f(s) K_{\vartheta l} (\vartheta(s) - \vartheta_{\text{задан}}(s)). \quad (2.2'') \end{aligned}$$

Последний, в целях повышения запаса устойчивости системы, целесообразно заменить законом

$$u(s) = K_{\omega l} \omega_z(s) + K_{\vartheta l} (K_f \vartheta(s) - W_f(s) \vartheta_{\text{задан}}(s)). \quad (2.2''')$$

Ниже приводятся результаты синтеза и математического моделирования САУ  $\Delta n_y$  и САУ  $\vartheta$  гипотетического самолета, построенных с законами управления, полученными непосредственно АКОРом и дополнительно преобразованными описанными способами, при варьируемом параметре  $K_m$ .

### 3. Формирование подынтегральных выражений критериев оптимальности для синтеза первичных законов управления (2.1), (2.2)

Критерий оптимальности, предопределяющий решение задачи синтеза управления, формируется

по эмпирическим правилам, применимость которых в каждом конкретном случае проверяется математическим моделированием. Выберем структуру и параметры матриц  $Q$  и  $R$ , варьируемые с целью получения гаммы проектных решений, при работе различающихся мощностью управляющих воздействий и аэродинамических сил, требуемых для реализации переходных процессов в системе, и динамическими свойствами проектируемой системы. В решаемых здесь задачах размерности  $n \times n$  матриц  $Q$  и  $A$  одинаковы,  $n = 5$ . Для базовых вариантов задач синтеза, при  $K_m = 1$ , в подынтегральном выражении критерия из слагаемых функции  $X^T Q X$  с множителями  $\delta_B^2$  и  $\delta_V^2$  и члена  $Ru^2$  сформируем первую энергетическую (мощностную) функцию, связанную с непосредственными энергозатратами на управление:

$$Ru^2 + q_{(n-1,n-1)} \dot{\delta}_B^2 + q_{nn} \delta_B^2 = F_{13}.$$

Остальную часть подынтегрального выражения назовем точностной функцией  $F_t$ .

Сформируем также вторую мощностную функцию, связанную с относительной мощностью аэrodинамических сил при маневре,  $F_{23}$ .

Оценки показали, что для целей синтеза управления приемлема аппроксимирующая формула вида  $F_{23} = a_1 \dot{\alpha}^2 + a_0 \alpha$ , во избежание введения  $\dot{\alpha}$  в законы управления с помощью кинематических соотношений сводящаяся к форме

$F_{23} = b_{11} \omega_z^2 + b_{21} \omega_z \Delta n_y + b_{22} \Delta n_y^2$  — оба выражения с эмпирическими коэффициентами. Параметры матрицы  $Q$  и, следовательно, функций  $F_{13}$  и  $F_t$  определяются на основе правила равных вкладов максимальных по модулю величин, примененного к функциям и их слагаемым, с последующей коррекцией.

Далее подынтегральное выражение критерия  $X^T Q X + Ru^2$  представляется как

$F = K_m F_{13} + (K_m - 1) F_{23} + F_t$ , и при его возврате к матричной форме  $R = 1$  домножается на  $K_m$ , а большая часть ненулевых элементов матрицы  $Q$  представляется линейными функциями от  $K_m$ .

Выполнив указанные расчеты для случая синтеза законов управления (2.1) и (2.2), получаем  $R = K_m$ , а ненулевые элементы матрицы  $Q$  — в виде

$$q_{11} = 24,5 + 0,5 K_m, \quad q_{21} = 17,25 - 2,25 K_m,$$

$$q_{22} = 12,5 + 17,5 K_m,$$

$q_{33} = 90$  — для синтеза закона управления (2.1);

$q_{33} = 10$  — для синтеза закона управления (2.2);

$q_{44} = 0,024K_m$ ,  $q_{55} = 1K_m$ .

Возникающие при некоторых значениях  $K_m$  отрицательные значения какого-либо элемента матрицы  $Q$  являются «сигнализаторами» границ полной применимости метода и при целесообразности выхода за эти границы заменяются нулевыми значениями. Такое обнуление коэффициента  $q_{21}$  допустимо в связи с малостью нормируемого им произведения.

#### 4. Результаты синтеза САУ $\Delta n_y$ при варьируемом параметре $K_m$ и математического моделирования синтезированной системы

При синтезе рассматриваемой системы получены параметры законов управления (2.1), (2.1'), (2.1'') в функции варьируемого коэффициента  $K_m$ , частично иллюстрируемые рис. 2, из которого видно существенное влияние  $K_m$  на параметры и, следовательно, динамические свойства системы.

На рис. 3 приведены переходные функции  $h(t)$  в САУ  $\Delta n_y$  перегрузкой самолета при различных значениях  $K_m$ , на рис. 4 — зависимости от  $K_m$  параметров переходных процессов в системе: времени регулирования  $t_{per}$ , времени  $t_h$  нарастания  $h(t)$  до уровня  $1/2$ , максимальной скорости  $\dot{h}_{max}$ , пере-

регулирования  $\eta$ . Как видно из графиков, рост  $K_m$  ведет к замедлению нарастания переходных процессов, а при  $K_m > 1$  — к росту колебательности системы и снижению ее быстродействия. Так, на промежутке  $0,1 \leq K_m \leq 10$  десятикратное увеличение  $K_m$  ведет к 2–12-кратному снижению передаточных коэффициентов АПУ, 40%-ному росту времени  $t_h$  и в области  $K_m \geq 1$  — к более чем 2,5-кратному росту времени  $t_{per}$ .

Одновременно рост  $K_m$  ведет к снижению относительных средней мощности  $\bar{N}_{spred1}$  и работы

$\bar{A}_{spred1}$  исполнительных устройств, потребных для реализации переходных процессов, однако в связи с ростом колебательности в системе не ведет к такому снижению мощности и работы дополнительных аэродинамических сил  $\bar{N}_{spred2}$  и  $\bar{A}_{spred2}$  (рис. 5).

В области монотонных переходных функций, при  $K_m < 1$ , десятикратный его рост ведет к 1,8–2,4-кратному снижению энергоемкости переходных процессов.

#### 5. Результаты синтеза САУ $\vartheta$ при варьируемом параметре $K_m$ и анализа синтезированной системы методом математического моделирования

При синтезе САУ  $\vartheta$  с варьируемым  $K_m$  получены параметры законов управления и переходных функций, иллюстрируемые графиками рис. 6–10.

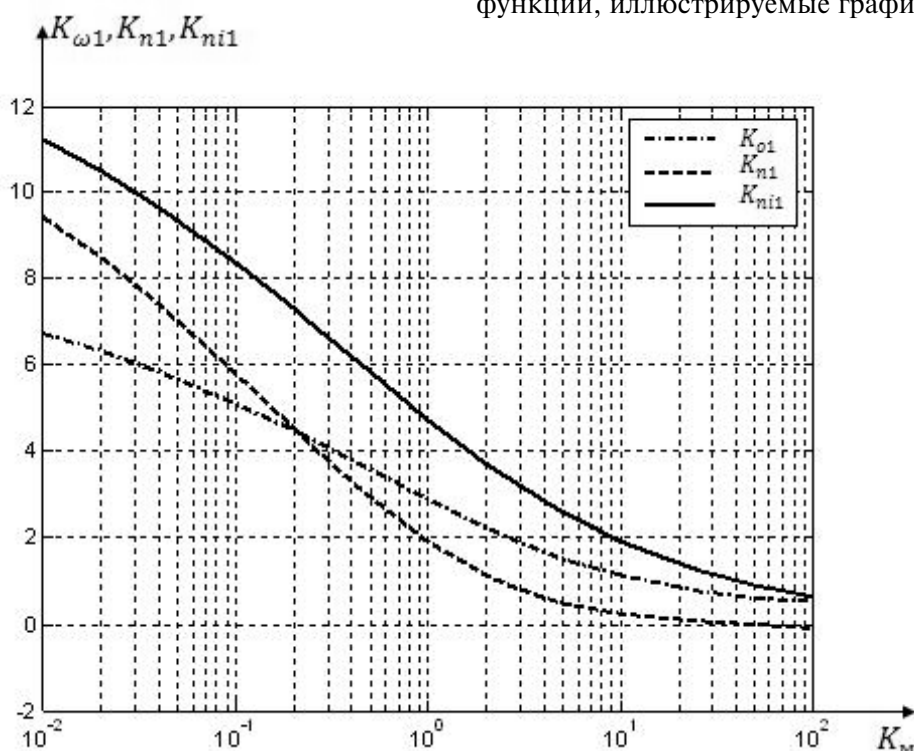


Рис. 2. Параметры законов управления нормальной избыточной перегрузкой самолета в функции коэффициента  $K_m$

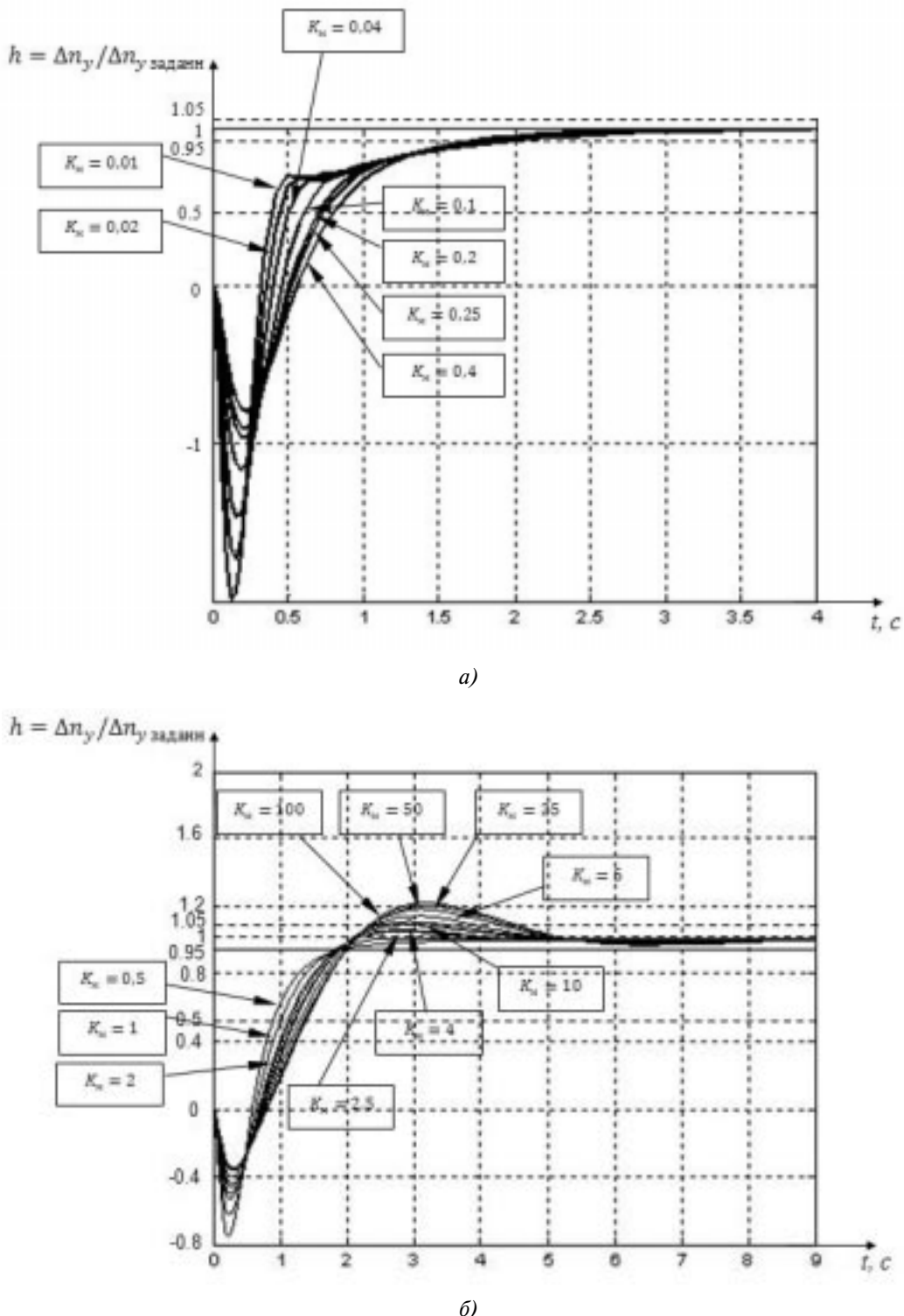


Рис. 3. Переходные функции в САУ  $\Delta n_y$  при малых (а) и больших (б) значениях  $K_M$

На рис. 6 приведены зависимости от  $K_M$  коэффициентов законов управления: (2.2') — сплошные линии, (2.2'') — пунктир (а), а также параметров входящего в законы управления (2.2'') и (2.2'') фильтра (б).

На рис. 7 приведены переходные функции  $h(t) = \frac{\vartheta(t)}{\vartheta_{\text{заданн}}}$  в САУ  $\vartheta$  при различных значениях  $K_M$ ,

при использовании закона управления (2.2) (рис. 7, а, б) и (2.2'') (рис. 7, в, г).

На рис. 8 приведены зависимости времени регулирования  $t_{\text{пер}}$  от параметра  $K_M$  в САУ  $\vartheta$ .

Здесь и далее решения, полученные при использовании точного оптимального закона управления (2.2), отображаются сплошными линиями, при использовании приближенного закона управления (2.2'') — пунктиром.

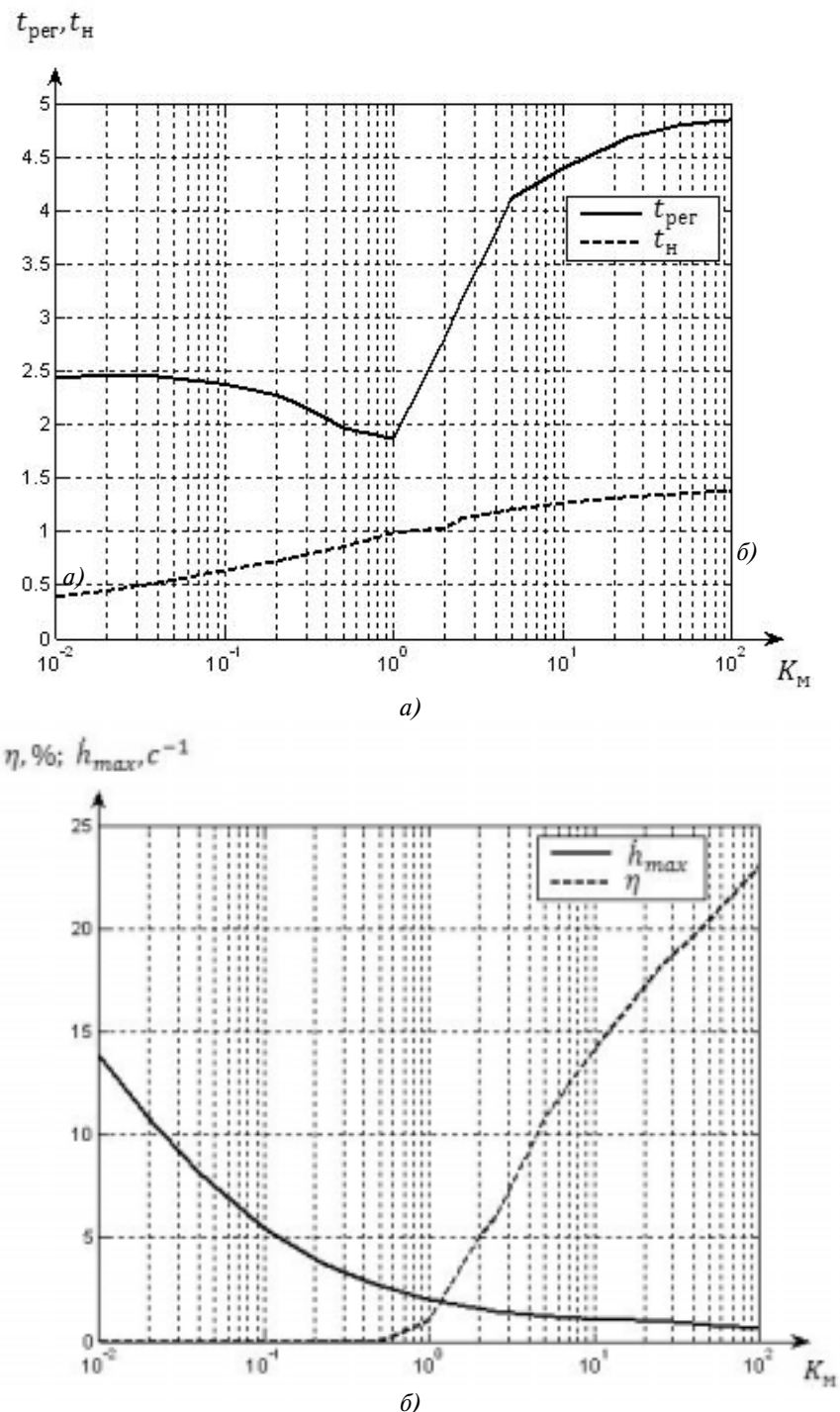


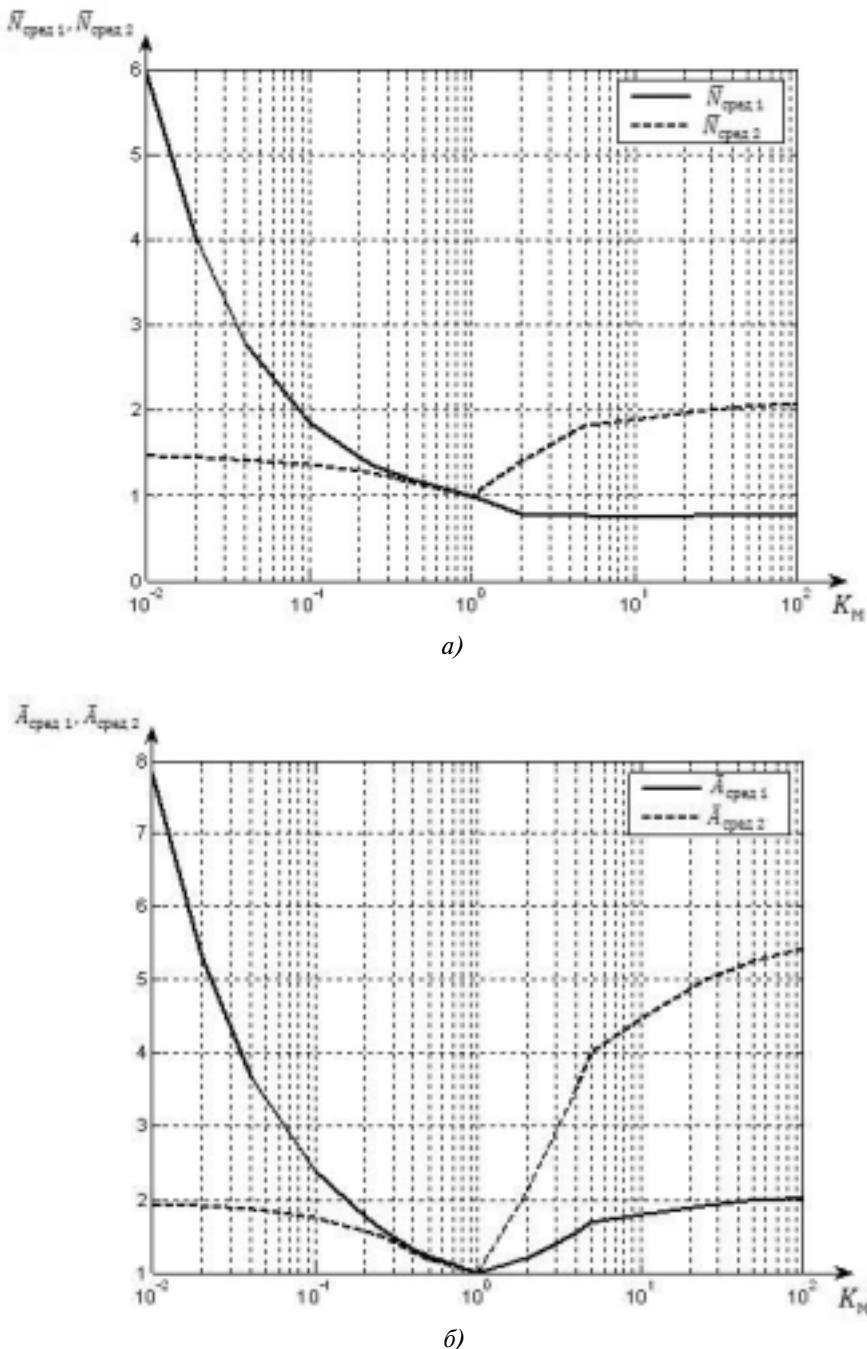
Рис. 4. Зависимость параметров переходных функций в САУ  $\Delta n_y$  от  $K_M$

На рис. 9 приведены зависимости от коэффициента  $K_M$  максимальных значений весовой функции  $w_{\max} = \dot{h}_{\max}$  и относительного уровня максимальной нормальной избыточной перегрузки  $\Delta \bar{n}_{y\max}$  (нормированной ее значением при  $K_M = 1$ ), полученных в переходных функциях (см. рис. 7).

На рис. 10 приведены полученные при математическом моделировании САУ  $\vartheta$  зависимости сред-

ней относительной мощности рулевого привода и дополнительных аэродинамических сил за время переходного процесса,  $\bar{N}_1$  и  $\bar{N}_2$ , соответственно, (а), а также соответствующих относительных значений работ  $\bar{A}_1$  и  $\bar{A}_2$  (б).

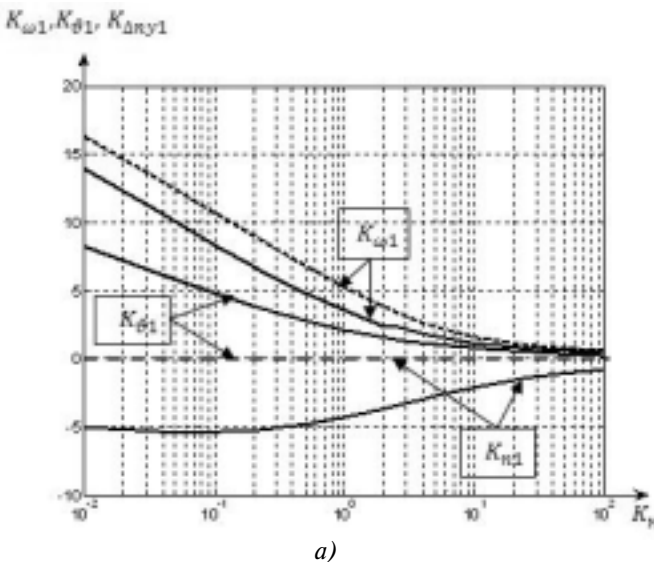
Как видно из графиков, в рассматриваемой задаче переменный параметр  $K_M$  является эффективным инструментом воздействия на динамические

Рис. 5. Зависимость от  $K_m$  относительных средних мощностей

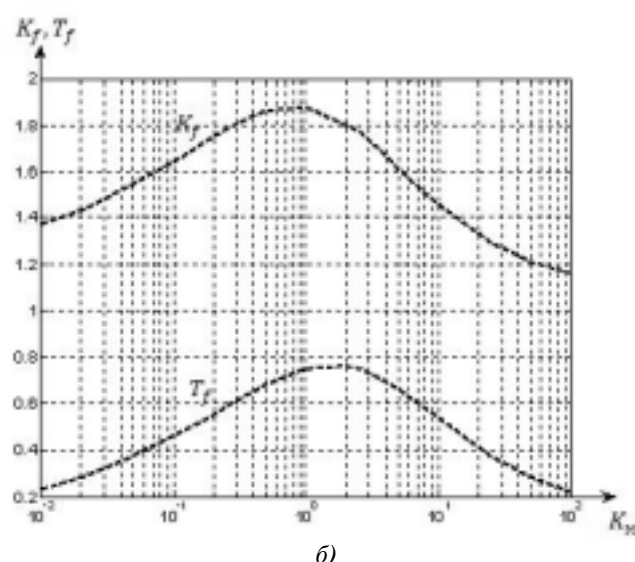
исполнительных устройств  $\bar{N}_{\text{сред1}}$  и аэродинамических сил  $\bar{N}_{\text{сред2}}$  (а), а также соответствующих относительных работ  $\bar{A}_{\text{сред1}}$  и  $\bar{A}_{\text{сред2}}$  (б)

свойства системы управления. Изменение  $K_m$  в широких пределах относительно базового значения  $K_m = 1$  существенно отражается на параметрах и динамических свойствах системы. На промежутке  $0,1 \leq K_m \leq 10$  десятикратное увеличение  $K_m$  вызывает 2,3–3,2-кратное снижение коэффициентов отрицательных обратных связей в системе управления, 40–130%-ный рост длительности переходных процессов, от 16%-ного до 2,2-кратного снижения

энергозатрат на выполнение переходных процессов. В области  $K_m < 1$  наиболее эффективно влияние  $K_m$  на энергозатраты на управление. Занижение  $K_m$  неэффективно: при малом росте быстродействия системы с уменьшением  $K_m$  резко растут энергозатраты на управление. В области  $K_m > 1$  с ростом  $K_m$  растет время переходного процесса и энергоэкономичность управления. Это область наиболее рационального применения методики для построения

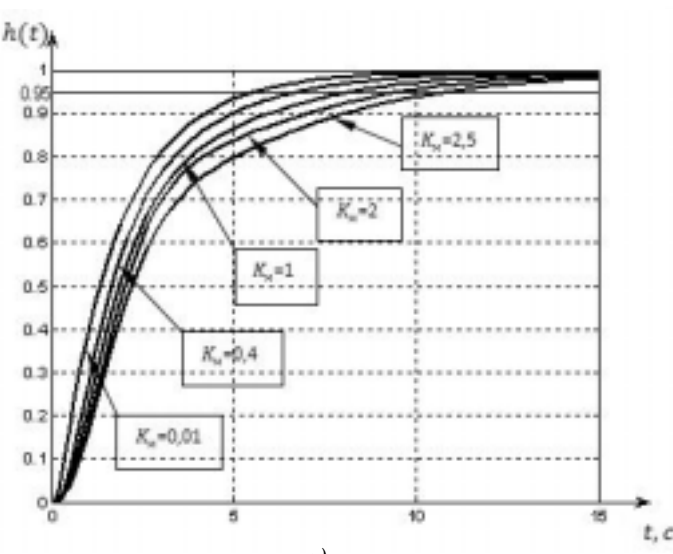


a)

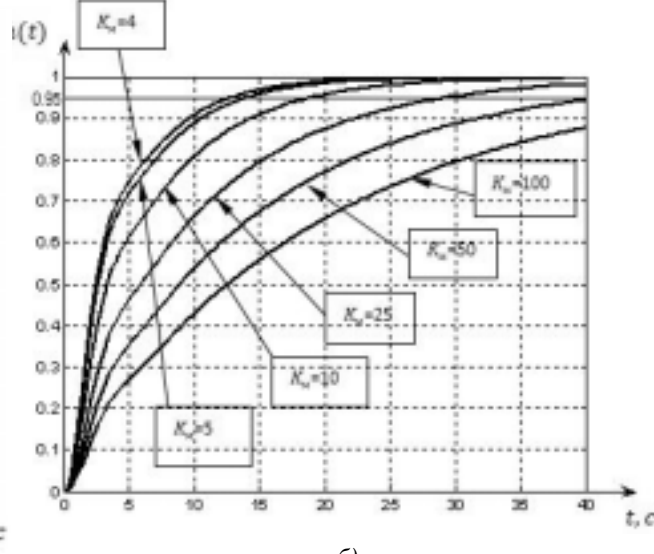


b)

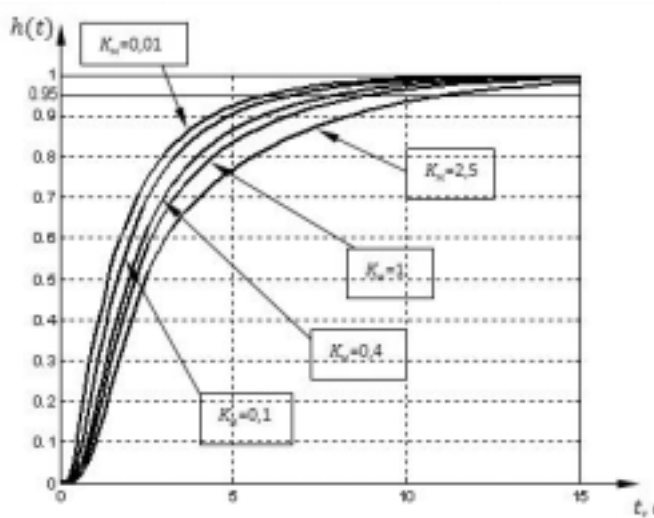
Рис. 6. Зависимости параметров законов управления САУ  $\vartheta$  от  $K_M$



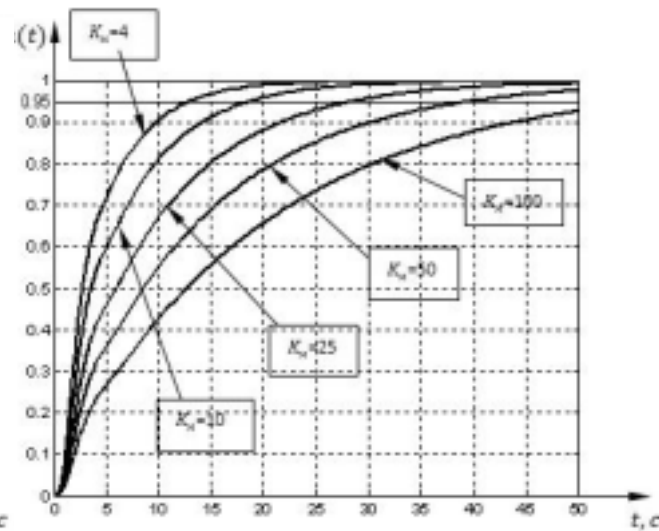
a)



b)



b)



c)

Рис. 7. Переходные функции в САУ  $\vartheta$  при различных значениях  $K_M$ , при использовании точного (а, б) и приближенного (в, г) оптимального закона управления

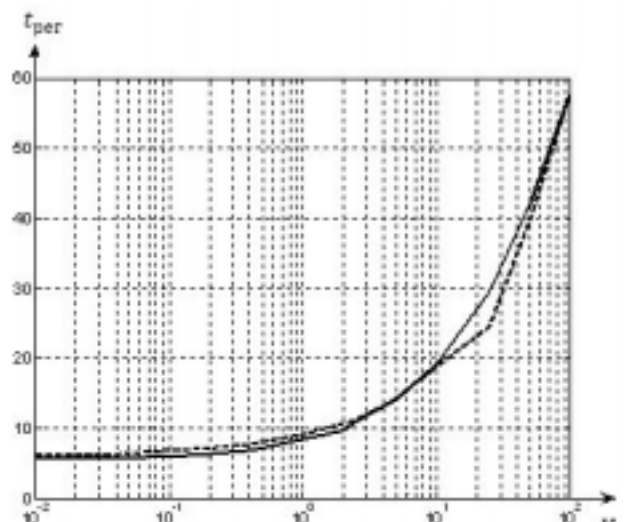
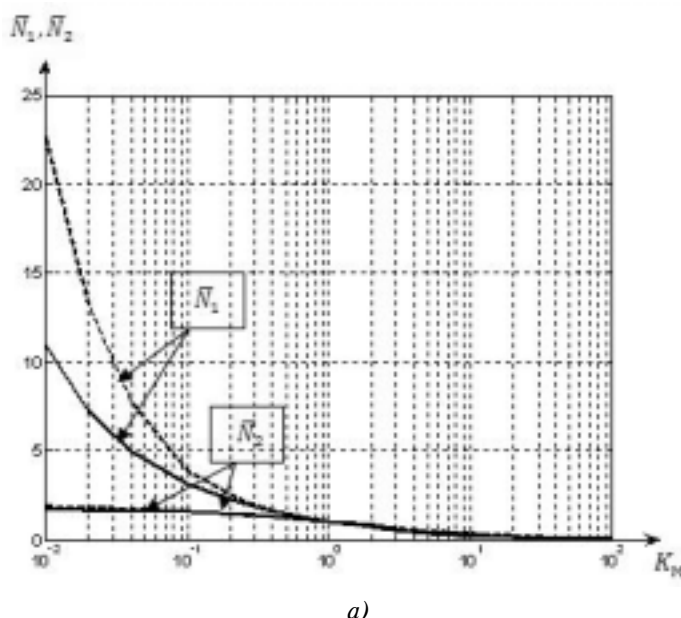


Рис. 8. Зависимость времени регулирования САУ  $\dot{v}$  от  $K_M$



*a)*

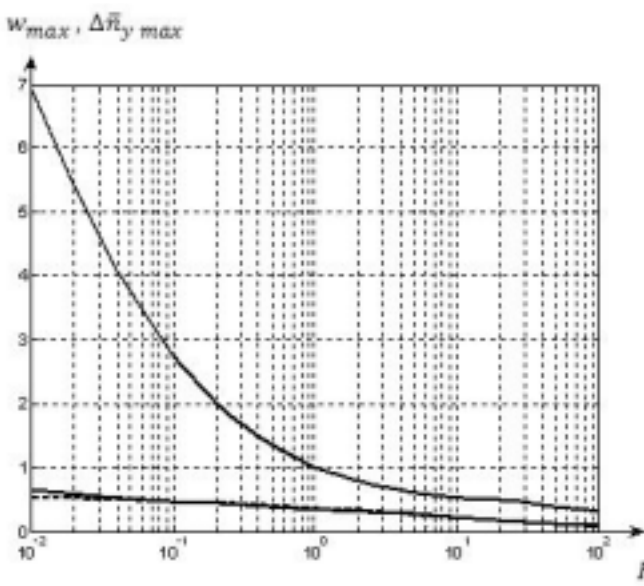
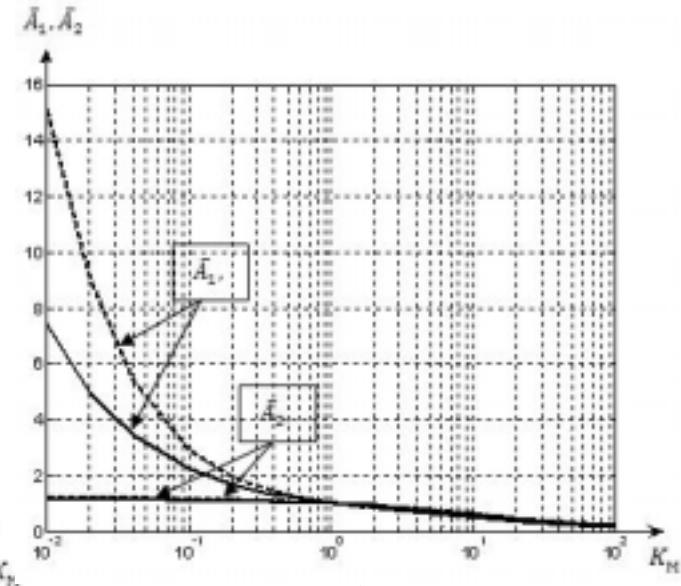


Рис. 9. Зависимость  $w_{\max} = \dot{h}_{\max}$  и  $\Delta \bar{n}_y \max$  от коэффициента  $K_M$



*b)*

Рис. 10. Зависимости от  $K_M$  средних относительных мощностей  $\bar{N}_1$  и  $\bar{N}_2$  (*a*) и работ  $\bar{A}_1$  и  $\bar{A}_2$  (*b*)

экономичных энергетически законов управления. Из графиков видно также, что наряду с собственными оптимальным законом управления может быть применен также упрощенный, аппроксимирующий его закон управления, не требующий применения в системе положительной обратной связи.

## Выводы

Включение в критерий оптимальности взвешенной оценки энергозатрат объекта управления в связи с выполнением переходных процессов повышает значимость критерия. Коэффициент относительного веса энергетической («мощностной») части критерия  $K_M$  является эффективным инструментом

воздействия на свойства синтезируемой системы. На примерах синтеза систем управления нормальной избыточной перегрузкой и углом тангажа гипотетического среднемагистрального самолета показано, что широкое варьирование этого коэффициента обеспечивает закономерное, управляемое встречное изменение затрат энергии на реализацию переходных процессов и быстродействия синтезируемых систем. Одновременно с этим высокое качество переходных процессов в системах, в частности малая их колебательность или монотонность, достигается выбором весовых коэффициентов базовых вариантов критерия оптимальности.

## **Summary**

An analytical design of optimal regulators is discussed according to multivariant generalized work performance index. This approach is applied to parametric synthesis of control laws for short-period longitudinal motion of hypothetic middle-range airliner. A set of optimal control systems is generated with various response speed and energetic control costs.

## **Библиографический список**

1. Красовский А.А. Системы автоматического управления полетом и их аналитическое конструирование. — М.: Наука, 1973.
2. Рыбников С.И. Аналитическое конструирование оптимальных регуляторов на основе уравнения Эйлера—Пуассона. — М.: Изд-во МАИ, 1993.
3. Михалев И.А., Окоемов Б.Н., Чикулаев М.С. Системы автоматического управления самолетом. — М.: Машиностроение, 1987.

Московский авиационный институт  
Статья поступила в редакцию 13.02.2008